

Ю.М. Сорокин

ОПТИМИЗАЦИЯ ПОРОГОВЫХ УСЛОВИЙ КОЛЛЕКТИВНОГО ОПТИЧЕСКОГО РАЗРЯДА

Рассмотрена возможность инициирования коллективного оптического разряда (КОР) в видимом и ближнем ИК-диапазонах при минимальных интенсивностях и с минимально возможным аэрозольным содержанием. Построена пороговая модель оптимизированного подобным образом КОР. На основе имеющихся экспериментальных данных и результатов численного моделирования выполнены оценки входящих в модель феноменологических параметров в диапазоне интенсивностей $10^5 \div 10^7 \text{ Вт}/\text{см}^2$. Указаны области существования и особенности развития неоптимизированных КОР в режимах докритической и избыточной массы.

1. Введение

Возможности использования оптических разрядов для дистанционного зондирования аэрозольной компоненты атмосферы постоянно расширяются: наряду с методами спектрохимического анализа (см., например, [1–4]) активно разрабатываются разнообразные методы акустической диагностики [5–8]. В плотных аэродисперсных системах (при достаточно высокой концентрации аэрозоля) источником оптической или акустической информации может быть коллективный оптический разряд (КОР) [4, 8], инициируемый длинными импульсами при наименьшей интенсивности излучения. Однако пороговые условия КОР оценивались до настоящего времени лишь с энергетической точки зрения [9, 10]: рассматривалось условие достаточности энерговклада в аэрозоль для заполнения получившимся парами всего фокального объема при температуре кипения T_k аэрозольного материала. Возникает, однако, как минимум, два практически важных вопроса: 1) содержит ли в аэрозольном ансамбле достаточная масса вещества для образования парового облака с требуемыми параметрами, 2) каков оптимальный (минимизированный по расходу аэрозольного материала) режим КОР? Ответы на эти вопросы и составляют цель настоящей статьи, где развивается пороговая модель КОР.

2. Пороговая модель

Пусть имеем статистически однородный ансамбль аэрозольных частиц со средним радиусом a и концентрацией n_a , находящийся в буферном газе (воздухе) с давлением P_0 при температуре T_0 . В результате взаимодействия аэрозольного ансамбля с излучением интенсивности I идут процессы нагрева, испарения и ионизации, сопровождающиеся образованием паровоздушных ореолов частиц (микрофакелов) с парциальным давлением паров $P_\pi = \delta P_0$, содержащие невытесненную часть β первоначальной массы буферного газа. Механизм низкопорогового разогрева частиц, связанный с образованием локальных областей затравочного плазмообразования и ростом коэффициента поглощения в частицах, рассмотрен в [11]. Как показано в [9, 10], энергетически наиболее экономному (пороговому по интенсивности) режиму коллективного пробоя соответствует процесс «холодного» (при $T \approx T_k$) слияния микрофакелов, сопровождающийся уменьшением тепловых потерь. Для указанных сравнительно невысоких температур разреженная плазма микрофакела остается слабопоглощающей (в видимом и ближнем ИК-диапазонах), тогда как разогретая до той же температуры аэрозольная частица эффективно поглощает падающее на нее излучение.

Поглощенная из лазерного пучка энергия идет на нагрев и испарение вещества аэрозоля, ионизацию паров, нагрев невытесненной из объема микрофакела части β буферного газа и на работу по расширению микрофакела при наличии противодавления P_0 . Полагая $T_k \gg T_0$, приходим к следующему уравнению энергетического баланса для одного микрофакела объемом V , образовавшегося в результате испарения массы Δm сферической аэрозольной частицы:

$$\frac{1}{2} \pi a^2 I \tau = (q + C_p T_k + \alpha \Delta_i N_A / M) \Delta m + \beta C_{p0} T_k \frac{P_0 M_0}{R T_0} V + P_0 V, \quad (1)$$

где q — удельная теплота парообразования аэрозольного материала; C_p и C_{p0} — удельные теплоемкости аэрозоля и буферного газа; α — степень ионизации аэрозольных паров; M , Δ_i — их молярная масса и потенциал ионизации; M_0 — молярная масса буферного газа; N_A — число Авогадро; R — универсальная газовая постоянная. В (1) учтено, что за время τ взаимодействия с излучением сильнопоглощающая частица в пороговых для пробоя условиях почти полностью испаряется, а при интегрировании по времени для оценки энерговклада взято среднее значение сечения поглощения. Полага-

ется также, что из-за сильной зависимости степени ионизации от потенциала Δ_i ионизацией буферного газа можно пренебречь.

В приближении идеальных газов испаренная масса Δm и объем V связаны уравнением

$$P_n V = \frac{\Delta m}{M} R T_k. \quad (2)$$

Объединяя (1), (2) с необходимым условием выхода пробоя в коллективный режим ($V = n_a^{-1}$), приходим к соотношению:

$$\frac{1}{2} \pi I a^2 n_a \tau = P_0 \left[1 + \frac{\delta M q}{R T_k} + \frac{\delta M C_p}{R} + \beta M_0 C_{p0} \frac{T_v}{R T_0} + \alpha \Delta_i \delta \frac{N_A}{R T_k} \right], \quad (3)$$

правая часть которого является постоянной для заданного аэрозольного материала.

Независимое условие достаточности испаренной массы для образования парового облака с требуемыми параметрами можно записать в виде

$$\frac{4}{3} \pi a^3 \rho n_a \geq \frac{P_0 M}{R T_k}, \quad (4)$$

где ρ — плотность материала частицы. Случай равенства в (4) соответствует минимизированному по расходу аэрозольного материала пороговому режиму пробоя, когда к моменту смыкания микрофакелов (т.е. включения эффективного коллективного механизма разогрева) испарён весь аэрозольный материал.

Объединение условий (3), (4) для этого случая приводит к следующей пороговой системе уравнений для оптимизированного КОР:

$$I\tau = w_0 [1 + \gamma_q + \gamma_c + \gamma_0 + \gamma_i]; \quad (5)$$

$$n_a = P_0 / (\pi w_0 a^2); \quad (6)$$

$$\tau = \min(2R_0/v_a; \tau_u), \quad (7)$$

где размерный параметр

$$w_0 = \frac{8 a \rho T_v R}{3 \delta M} \quad (8)$$

имеет смысл характерной плотности энергии, необходимой для вытеснения буферного газа из объема микрофакела, а безразмерные параметры

$$\begin{aligned} \gamma_q &= \frac{\delta M q}{R T_k}, \quad \gamma_c = \frac{\delta M C_p}{R}, \\ \gamma_0 &= \beta M_0 C_{p0} \frac{T_k}{R T_0}, \quad \gamma_i = \alpha \Delta_i \delta \frac{N_A}{R T_k} \end{aligned} \quad (9)$$

характеризуют относительные энергозатраты на испарение и нагрев аэрозольного материала и невытесненной части буферного газа, а также на ионизацию аэрозольных паров. Условие (7) учитывает, что из-за светореактивного выноса частиц со скоростью v_a из фокальной области с радиусом перетяжки R_0 время взаимодействия частиц с излучением может отличаться от длительности импульса τ_u . Поскольку вынос частиц происходит преимущественно под углами $(20\text{--}45)^\circ$ к лучу (см. рис. 1, а также [12]), в условии (7) фигурирует оценка эффективной скорости выноса $v_{\text{eff}} \simeq v_a/2$.

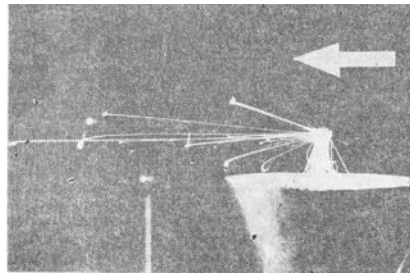


Рис. 1. Картина светореактивного выброса частиц из области КОР (карбид бора, размер частиц $2a \sim 200$ мкм). Стрелкой показано направление распространения инициирующего пучка (импульс свободной генерации неодимового лазера $I \sim 10^6$ Вт/см 2)

Графическое представление области существования оптимизированного КОР в 3-мерном пространстве параметров a, n_a, I_τ дает рис. 2, где S_1 есть цилиндрическая поверхность критической массы, описываемая уравнением (6); S_2 — поверхность порогового энерговклада при фиксированных газодинамических параметрах β, δ , описываемая уравнением (3), а L — оптимальная пороговая кривая, проекция которой А'В' на плоскость (a, I_τ) есть прямая вида (5).

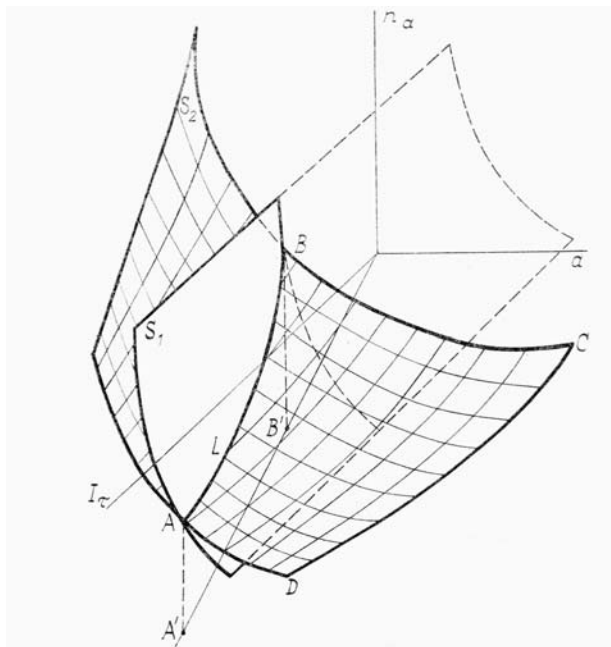


Рис. 2. Графическое представление поверхностей критической массы (S_1) и порогового энерговклада (S_2), а также пороговой кривой (L) оптимизированного КОР в пространстве параметров a, n_a, I_τ

3. Оценка феноменологических параметров процесса

Как видно из (5)–(7), пороговые условия оптимизированного КОР по интенсивности I , длительности импульса τ_π , концентрации и размерам аэрозоля зависят от трех групп факторов: 1) ионизационных, 2) физико-химических, 3) газодинамических. Для оценки относительной роли этих факторов воспользуемся данными, приведенными в табл. 1 для различных химически инертных твердых аэрозолей. Физико-химические процессы, протекающие в таких системах при $T \sim T_k$, еще недостаточно изучены, поэтому при составлении табл. 1 предполагалось, что молекулярная формула паров совпадает с химической формулой твердого аэрозоля. Исключение составляет несколько лучше изученный корунд, для которого известно [13] существование в паровой фазе «тяжелой» (Al_2O_3), «промежуточной» (Al_2O) и «легкой» (AlO) компонент. Данные для двух из них в качестве крайних оценок вынесены в табл. 1.

Влияние ионизационных процессов оказывается лишь в пороговом условии (5) по интенсивности и описывается безразмерным параметром γ_i содержащим две взаимосвязанные характеристики потенциал Δ_i и степень ионизации α . Порядок параметра γ_i (в сравнении с γ_q, γ_c) определяется главным образом степенью ионизации α . Оценка последней по формуле Саха при $T \sim T_k$ ($\alpha < 10^{-2}$) позволяет с учетом данных табл. 1 считать ионизационный член в (5) пренебрежимо малым.

Таблица 1

	Аэрозоль ($a=10$ мкм)	δw_0 , Дж/см ²	γ_q/δ	γ_c/δ	γ_0/β	$\gamma_i/\alpha\delta$
1	$\text{Al}_2\text{O}_3 \rightarrow \text{Al}_2\text{O} \rightarrow$ $\rightarrow \text{AlO}$	3 7,2	17 7	17 7	$3,1 \cdot 10^2$	20
2	Al	6	13	4	$2,3 \cdot 10^2$	26
3	MgO	7,6	16	6,4	$3,3 \cdot 10^2$	30
4	SiO ₂	3,3	31	6,5	$3 \cdot 10^2$	25
5	Si	5,3	16	4	$2,5 \cdot 10^2$	32
6	B ₄ C	4	80	7	$3,5 \cdot 10^2$	23

Физико-химические свойства аэрозольного материала и воздуха в качестве буферного газа описываются включенными в табл. 1 и отнормированными на газодинамические характеристики δ , β параметрами ϕ_0 , γ_q , γ_c и γ_0 . Они влияют на пороговые условия оптимизированного КОР как по интенсивности (5), так и по концентрации аэрозоля (6). Из табл. 1 и формулы (5) видно, что независимо от газодинамических процессов можно оценить лишь относительное влияние процессов нагрева и испарения аэрозоля различного состава на порог пробоя по интенсивности. Абсолютная величина пороговой интенсивности, а также оптимальная концентрация аэрозоля существенно зависят от характера взаимодействия аэрозольной и воздушной компонент, в нашей модели описываемого величинами δ , β . Отметим, однако, что при условии почти полного вытеснения воздушной компоненты из объема микрофакела ($\beta < 10^{-2}$) порог оптимизированного КОР по интенсивности практически не зависит от газодинамических параметров δ , β (поскольку в этом случае по определению $\delta \geq 1$ и формально зависящие от δ первый и четвертый члены в правой части (5) малы). При этом согласно (6) пороговая концентрация аэрозоля по-прежнему зависит как от давления буферного газа P_0 , так и от газодинамического параметра δ .

Для оценки газодинамического параметра δ можно воспользоваться результатами численных расчетов динамики изолированного микрофакела в околовороговых для пробоя режимах. Так, из результатов работы [14] следует, что в отсутствие разогрева в расширяющемся микрофакеле плотность воздушного «остатка» $\rho_B \approx 0,1\rho_0$ (т.е. $\beta \approx 0,1$). Расчеты по существенно уточненной модели, согласованной с процессом испарения в причастичном слое, в разогревающемся микрофакеле [15] дают $P_B \sim 0,5P_0$, что с учетом уравнения состояния (2) и соотношения $T_K/T_0 \sim 10$ приводит, естественно, к несколько более низкой оценке $\beta \approx 0,05$. Согласие результатов [14, 15] дает основание принять далее оценку $\beta \approx 0,05$ при расчете пороговых условий КОР.

Оценку времени взаимодействия частиц с излучением τ можно дать на основании результатов независимых измерений скорости светореактивного выноса частиц v_a [12]: для $a \sim 1,5$ мкм, $I \sim 2$ МВт/см², $v_a = 10 - 30$ м/с. Таким образом, в системе (5)–(7) остается лишь один феноменологический параметр δ , который можно оценить, если известны результаты измерений пороговых для КОР значений I , n_a в условиях, когда они связаны зависимостью (5), (6), то есть в условиях оптимизированного КОР.

Среди имеющихся экспериментальных данных по порогам КОР близкими к оптимизированным являются условия эксперимента [16] для корундового аэрозоля с $a \approx 12$ мкм. Действительно, при атмосферном давлении для такого аэрозоля согласно верхней строке табл. 1 (для «тяжелых» паров) и формуле (6) имеем: $n_a = 8 \cdot 10^3 \delta$ см⁻³. Фактически измерено в [16] $n_a = 10^4$ см⁻³. Таким образом, $\delta = 1,3$, если пороговое значение I оптимально согласовано с n_a (определяется формулой (5)). Используя данные верхней строки табл. 1 и принимая в качестве оценки v_a нижнее значение скорости из [12] (ср. соответствующие значения интенсивностей) для условий работы [16] ($R_0 = 0,1$ см, $\tau_{in} \sim 10^{-3}$ с), из (7), (5) получаем: $\tau = 2 \cdot 10^{-4}$ с, $I \sim 7 \cdot 10^5$ Вт/см², что в пределах погрешностей эксперимента совпадает с измеренным в [16] значением $I \approx 8 \cdot 10^5$ Вт/см². Аналогичная оценка по второй строке табл. 1 (для «легких» паров) дает $n_a \approx 3,3 \cdot 10^3 \delta$ см⁻³, то есть $\delta \approx 3$ и приводит к точно такому же теоретическому значению $I \approx 7 \cdot 10^5$ Вт/см². Таким образом подтверждается вывод об оптимальности порогового режима КОР для данной реализации в [16], обнаруживается слабая зависимость пороговой интенсивности от молекулярной формы паров и выясняются пределы соответствующей вариации параметра δ (рост парциального давления при образовании «легкой» компоненты паров физически совершенно естествен).

4. Пороговые режимы КОР

Ограничиваюсь диапазоном интенсивностей $10^5 - 10^7$ Вт/см², использую для последующих оценок среднее из найденных выше для разных молярных форм паров корундового аэрозоля значение $\delta = 2$ и среднее значение их молярной массы $\bar{M} = 72$, а для времени взаимодействия аэрозоля с излучением сохраним оценку $\tau \approx 2 \cdot 10^{-4}$ с. В результате появляется возможность построить классификацию

физических режимов развития КОР в выполненных ранее экспериментах, а также дать количественные предсказания оптимизированных условий КОР в указанном выше диапазоне интенсивностей. Соответствующая информация сведена в табл. 2, где расчетные условия оптимизированного КОР для заданных a отмечены прочерком вместо ссылок. Отдельным столбцом приведены определяемые результатами работы [11] оценки необходимых для инициирования нелинейного механизма поглощения величин теплопроводностного фактора усиления разогрева η и коэффициента усиления поля $\mu^2\eta$.

В связи с тем что при оптимизации условий КОР оказываются согласованными условие (3) достаточности энерговклада в аэрозоль и условие (6) достаточности массы аэрозоля для образования парового облака с $T = T_k$ при заданном давлении $P_n = \delta P_0$, этот режим будем называть режимом критической массы (РКМ).

Таблица 2

a , мкм	n_a , см $^{-3}$	I , Вт/см 2	Ссылка	$\mu^2\eta$	Режим
1,2	$2,3 \cdot 10^5$	$3,7 \cdot 10^6$	[16]	8	РДМ
	$4,4 \cdot 10^6$	10^5	—	300	РКМ
1,5	$6 \cdot 10^5$	$7 \cdot 10^5$	[17]	40	РДМ
	$1,2 \cdot 10^5$	$3 \cdot 10^5$	—	100	РКМ
5	$5 \cdot 10^4$	10^6	[18]	30	РДМ
	$4,6 \cdot 10^4$	$4 \cdot 10^5$	—	80	РКМ
7	$3 \cdot 10^4$	10^6	[16]	30	РДМ—РКМ
	10^4	$8 \cdot 10^5$	[16]	40	РКМ
12	$2,1 \cdot 10^3$	$3,7 \cdot 10^5$	[10]	80	РИМ
	$1,6 \cdot 10^2$	$2,8 \cdot 10^6$	—	10	РКМ
45	$7,6 \cdot 10^2$	$9 \cdot 10^5$	[10]	30	РИМ
	16	$6 \cdot 10^6$	—	5	РКМ

Как видно из табл. 2, имеющиеся экспериментальные данные по КОР в мелком ($a \leq 5$ мкм) аэрозоле соответствуют режимам, когда масса аэрозоля (точнее величина его удельного объемного содержания) меньше критической. Подобные режимы докритической массы (РДМ) или избыточных по отношению к оптимальным энергозатраты должны идти несколько иначе, чем предсказывает простейшая модель холодного слияния [9, 10]. Энергетическое условие (3) в соответствии с выводами работы [10] при этом по-прежнему должно удовлетворяться. Однако массы аэрозоля теперь уже не хватает для образования достаточно плотного парового облака при $T = T_k$. Это означает, что КОР в мелком аэрозоле может развиваться в условиях частичного вытеснения воздушной компоненты, когда парциальное давление паров аэрозоля сравнительно невелико. Роль воздушной компоненты при этом существенно возрастает.

Для крупных аэрозолей ($a \geq 40$ мкм), напротив, аэрозольное содержание в выполненных ранее экспериментах по КОР превышено относительно оптимального. Другими словами, к моменту выхода пробоя в коллективный режим значительная часть аэрозольной массы в области взаимодействия с излучением остается неиспаренной. Этот режим естественно назвать режимом избыточной массы (РИМ). Как видно из табл. 1, энергозатраты в РИМ ниже оптимальных (соответствующих РКМ при заданном a), однако достигается это снижение ценой непропорционального перерасхода аэрозольного материала. На рис. 2 пороговым РИМ соответствует часть поверхности порогового энерговклада, лежащая над поверхностью S_1 критической массы (область АВСД). При этом следует иметь в виду, что по мере удаления от кривой L поверхность порогового энерговклада может стать отличной от S_2 , так как усредненное сечение поглощения аэрозоля в РИМ, вообще говоря, не совпадает с заложенным в (3). Часть 3-мерного пространства параметров a , n_a , I_t , заключенная между поверхностями АВСД и S_1 , отвечает случаю неразогретой ($T < T_k$) системы, когда объемное содержание аэрозоля достаточно для образования плотного облака, но интегральная энергия, поглощенная аэрозолем из пучка, не обеспечивает развития микрофакелов вплоть до их слияния друг с другом.

Область РКМ, как ясно из сказанного выше, определяется частью поверхности S_1 , лежащей над кривой L . Сама же кривая L соответствует пороговым РКМ, то есть оптимизированному режиму КОР.

Область существования РДМ не имеет столь же наглядной интерпретации на рис. 2. Дело в том, что о докритической массе аэрозоля можно говорить лишь для определенных значений параметров β , δ (в нашем случае $\beta = 0,05$, $\delta = 2$). Как видно из (3), (6), положение поверхностей S_1 и S_2 зависит от этих параметров следующим образом:

$$(S_1) n_a \propto \delta$$

$$(S_2) I \tau n_a a^2 \propto 1 + A_1 \delta + A_2 \beta,$$

где $A_{1,2}$ — постоянные для заданного аэрозольного материала. Таким образом, для определения области РДМ формально следует изобразить два семейства поверхностей вида S_1 , S_2 , соответствующих

меньшим δ и большим β по сравнению с рассмотренными, и установить область пересечения $S_1(\delta) \times S_2(\delta, \beta)$, наложив дополнительную связь между β и δ из рассмотрения газодинамической задачи о взаимодействии аэрозольной и воздушной компонент в области КОР, что выходит за рамки данной работы. Следует также иметь в виду, что оптимизированные КОР в этой области параметров представляют меньший практический интерес, так как соответствуют диапазону интенсивностей излучения $I \leq 10^5 \text{ Вт}/\text{см}^2$, для которого в соответствии с результатами работы [11] и данными табл. 2 задача разогрева мелкого аэрозоля до температур T_k в видимом и ближнем ИК диапазонах длин волн становится трудноразрешимой ($\mu^2 \eta \geq 300$). Сказанное не исключает реализации в мелком аэрозоле КОР с повышенной по отношению к изложенной здесь модели пороговой интенсивностью либо в дальнем ИК диапазоне, когда эволюция системы на начальном этапе идет в режиме индивидуально-коллективного разогрева микрофакелов (см. [10]).

1. Беляев Е.Б., Годлевский А.П., Копытин Ю.Д. — Квантовая электроника. 1978. Т. 5. № 12. С. 2594.
2. Годлевский А.П., Копытин Ю.Д. //ЖПС. 1979. Т. 31. В. 4. с. 612.
3. Беляев Е.Б., Годлевский А.П., Зуев В.Е., Копытин Ю.Д. //В кн.: Зондирование физико-химических параметров атмосферы с использованием мощных лазеров. Томск: ИОА СО АН СССР. 1979. С. 1—20.
4. Гаврилов В.М., Голуб С.Л., Скрипкин А.М. //В кн.: Труды Института экспериментальной метеорологии. М.: Гидрометеоиздат. 1983. Вып. 31(105) С. 54—60.
5. Беляев Е.Б., Годлевский А.П., Копытин Ю.Д., Красненко Н.П., Муравский В.П., Шаманаева Л.Г. //Письма в ЖТФ. 1982. Т. 8. Вып 6. С. 333.
6. Бочкарев Н.Н., Копытин Ю.Д., Красненко Н.П., Миронов В.Л., Погодадев В.А. //В кн.: Матер. VIII Всес. симпозиума по распространению лазерного излучения в атмосфере. Ч. 2. Томск: ТФ СО АН СССР, 1986. С. 194—198. Там же. С. 216—220.
7. Копытин Ю.Д., Шаманаева Л.Г. //Там же. С. 319—328.
8. Королев И.Я., Самохвалов А.В., Сорокин Ю.М. //Оптика атмосферы. 1988. Т. 1. № 1. С. 73.
9. Сорокин Ю.М. //ЖТФ. 1986. Т. 56. Вып. 7. С. 1431.
10. Сорокин Ю.М., Королев И.Я., Крикунова Э.М. //Квантовая электроника. 1986. Т. 13. № 12. С. 2464.
11. Сорокин Ю.М. //Оптика атмосферы. 1988. Т. 1 (в печати).
12. Захарченко С.В., Пинчук С.Д., Скрипкин А.М. //Квантовая электроника. 1978. Т. 5. № 4. С. 934—937.
13. Свойства элементов //Под ред. Г.В. Самсонова. Ч. 2. Химические свойства. Изд. 2-е. М.: Металлургия. 1976. 383 с.
14. Вдовин В.А., Сорокин Ю.М. //ЖТФ. 1985. Т. 55. Вып. 2. С. 319—325.
15. Вдовин В.А., Сорокин Ю.М. Динамика формирования аэрозольного микрофакела при низкопороговом оптическом пробое. — Деп. в ВИНТИ № 7038-В87 от 30.09.87.
16. Вдовин В.А., Захарченко С.В., Скрипкин А.М., Сорокин Ю.М. // В кн.: Труды Института экспериментальной метеорологии. М.: Гидрометеоиздат. 1981. Вып. 26(99). С. 69—81.
17. Карпов О.В., Оганисян А.С., Петров Г.Д., Юрчук Э.Ф. //ЖПС. 1978. Т. 29. Вып. 3. С. 415—418.
18. Захарченко С.В., Скрипкин А.М. //В кн.: Труды Института экспериментальной метеорологии. М.: Гидрометеоиздат. 1981. Вып. 26(99). С. 82—86.

Горьковский госуниверситет
им. Н.И. Лобачевского

Поступила в редакцию
6 мая 1988 г.

Yu. M. S o r o k i n . Optimization of Threshold Conditions for Collective Optical Discharge.

The feasibility of the collective optical discharge in the visible and near infrared regions under the lowest intensities and contents is discussed. A threshold model for the optimized collective optical discharge is proposed. The phenomenological model parameters are estimated using the available experimental data and numerical simulation results for power densities of 10^5 — $10^7 \text{ W}/\text{cm}^2$.